

แบบจำลองชนิดความเครียดในระบบสำหรับการวิเคราะห์ปฏิกริยาร่วมของ
ดิน-โครงสร้าง



นาย สุริยา ทัศนียานนท์

วิทยานิพนธ์นี้เป็นส่วนหนึ่งของการศึกษาตามหลักสูตรปริญญาวิศวกรรมศาสตรดุษฎีบัณฑิต

ภาควิชาศวกรรมโยธา

บัณฑิตวิทยาลัย จุฬาลงกรณ์มหาวิทยาลัย

พ.ศ. 2533

ISBN 974-578-434-6

ลิขสิทธิ์ของบัณฑิตวิทยาลัย จุฬาลงกรณ์มหาวิทยาลัย

017187

๑๗๙๖๑๒๘๗๗๗

**PLANE STRAIN MODEL FOR SOIL - STRUCTURE
INTERACTION ANALYSIS**

Mr. Suriya Thusneeyanont

A Thesis Submitted in Partial Fulfillment of the Requirements

for the Degree of Doctor of Engineering

Department of Civil Engineering

Graduate School

Chulalongkorn University

1990

ISBN 974 - 578 - 434 - 6



Accepted by the Graduate School, Chulalongkorn University in Partial
Fulfillment of the Requirements for the Doctor's Degree.

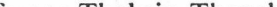
Thavorn Vajrabhaya Dean of Graduate School
(Professor Thavorn Vajrabhaya, Ph.D.)

Thesis Committee

 Chairman
(Professor Ekasit Limsuwan, Ph.D.)

 Member
(Professor Panitan Lukkunaprasit, Ph.D.)

Sutham Suriyamongkol Member
(Associate Professor Sutham Suriyamongkol, D.Eng.)

 Member
(Professor Thaksin Thepchatri, Ph.D.)

Suthipoul Viwathanatepa Member
(Associate Professor Suthipoul Viwathanatepa, Ph.D.)

SURIYA THUSNEEYANONT : PLANE STRAIN MODEL FOR SOIL-STRUCTURE INTERACTION ANALYSIS. THESIS ADVISORS : PROF.PANITAN LUKKUNAPRASIT, Ph.D., ASSO. PROF.SUTHAM SURIYAMONGKOL AND PROF.THAKSIN THEPCHATRI, Ph.D., 62 PP. ISBN 974 - 578 - 434 - 6

The schemes for solving soil-structure interaction problems by means of simplified two-dimensional plane strain models are examined. For foundation without pile, the simplified three-dimensional model proposed by Hwang, Lysmer and Berger is first shown to be ineffective in representing the three-dimensional behaviour for the case of concentrated loads. Modification of the model proposed by Hwang et al. is achieved by attaching side springs and dashpots to the plane strain slice together with the adjustment of mass and damping to reproduce three-dimensional effects. The concept underlying the formulation is to force the potential energy, the kinetic energy and the dissipation energy of the proposed model to be equivalent with those of the three-dimensional continuum.

For pile foundations a simple soil-pile element is developed for investigation of pile effects. Piles are treated as beam elements intrinsically embedded in the host plane strain soil elements without introducing any additional physical nodes in the modeling. Assuming that no slip occurs between the contact surfaces, the displacement fields of the piles can be expressed in terms of the host nodal displacements. Following the standard finite element technique, the pile stiffness can be easily evaluated.

ภาควิชา วิศวกรรมโยธา
สาขาวิชา วิศวกรรมโยธา
ปีการศึกษา 2533

ลายมือชื่อนิสิต *Parntipun*
ลายมือชื่ออาจารย์ที่ปรึกษา *สมชาย ธรรมรงค์*
ลายมือชื่ออาจารย์ที่ปรึกษาร่วม *พุฒ พัฒน์*
สมชาย ธรรมรงค์

สุริยา ทัศนียานนท์ : แบบจำลองชนิดความเครียดในระบบสำหรับการวิเคราะห์ปฏิกิริยาร่วมของดิน – โครงสร้าง (PLANE STRAIN MODEL FOR SOIL – STRUCTURE INTERACTION ANALYSIS)
คณะกรรมการที่ปรึกษา : ศ.ดร.ปณิธาน ลักษณะประสีกธี รศ.ดร.สุธรรม สุริยะมงคล และ
ศ.ดร.ทักษิณ เทพชาตรี, 62 หน้า ISBN 974 – 578 – 434 – 6

งานวิจัยนี้เสนอวิธีการวิเคราะห์ปัญหาปฏิกิริยาประกอบร่วมดิน – โครงสร้าง ด้วยแบบจำลองชนิดความเครียดในระบบสองมิติอย่างง่าย สำหรับฐานรากชนิดไม่มีเสาเข็มพบว่าแบบจำลองชนิดสามมิติอย่างง่ายของ Hwang, Lysmer และ Berger ให้ผลลัพธ์ที่ไม่ดีนักในกรณีของแรงกระทำเป็นจุดบนฐานราก การปรับปรุงแบบจำลองของ Hwang และผู้ร่วมงานกระทำได้โดยการใส่สปริงและตัวหน่วงเข้าไปที่ด้านข้างของแบบจำลองชนิดความเครียดในระบบร่วมกับการปรับมวลและความหน่วง เพื่อที่จะทำให้เกิดผลของลักษณะสามมิติ แนวความคิดที่ใช้การกำหนดหลักเกณฑ์คือ การบังคับให้พลังงานศักย์ พลังงานจลน์และการสูญเสียพลังงานโดยการกระเจายของแบบจำลองที่นำเสนอ มีค่าเทียบเท่ากับค่าที่เกิดขึ้นในมวลดินสามมิติ

สำหรับฐานรากชนิดมีเสาเข็ม งานวิจัยนี้นำเสนอชั้นส่วนดิน – เสาเข็มอย่างง่ายเพื่อศึกษาผลที่เกิดจากเสาเข็ม พิจารณาว่าเสาเข็มนั้นเสมือนเป็นคานแทรอกตัวอยู่ในชั้นส่วนของมวลดินที่ห่อหุ้มเสาเข็ม ทำให้ไม่ต้องเพิ่มจุดข้อต่อเฉพาะชั้นสำหรับเสาเข็มอีกต่อไป จำกัดความมุตตฐานที่ว่าผิวสามัคชช่องดินกับเสาเข็มยืดติดกันแน่นไม่เคลื่อนตัวแยกจากกัน ทำให้สามารถเขียนรูปแบบของการเคลื่อนที่ของเสาเข็มในทุกของ การเคลื่อนที่ของจุดข้อต่อของชั้นส่วนมวลดินที่ห่อหุ้มเสาเข็มได้ และโดยใช้วิธีการไฟไนท์เอลเมนต์มาตรฐานจะหาสติฟเนสของเสาเข็มได้อย่างง่าย



ภาควิชา วิศวกรรมโยธา
สาขาวิชา วิศวกรรมโยธา
ปีการศึกษา 2533

ลายมือชื่อนิสิต *ธีรุณ พัฒนาวงศ์*
ลายมือชื่ออาจารย์ที่ปรึกษา *สมบูรณ์*
ลายมือชื่ออาจารย์ที่ปรึกษาร่วม *พิพัฒน์ พัฒนาวงศ์*
พิพัฒน์ พัฒนาวงศ์

ACKNOWLEDGEMENTS

The author wishes to express his gratitude to his advisory committee, Dr. Panitan Lakkunaprasit, Dr. Sutham Suriyamongkol, Dr. Roengdeja Rajatabhathi and Dr. Thaksin Thepchatri for their guidance, understanding and encouragement. He would also like to express his appreciation for the Thesis Committee Chairman, Dr. Ekasit Limsuwan and external examiner, Dr. Suthipoul Viwathanatepa.

The author gratefully acknowledges the Ministry of Education and Ministry of University Affairs for the financial support.

Finally, the author is grateful to his parents and his friends for their support and encouragement.





TABLE OF CONTENTS

Figure	Title	Page
	Title Page in Thai	i
	Title Page in English	ii
	Thesis Approval	iii
	Abstract in English	iv
	Abstract in Thai	v
	Acknowledgements	vi
	Table of Contents	vii
	List of Figures	ix
	List of Symbols	xi
CHAPTER		
I	INTRODUCTION	1
	Background	1
	Objectives	4
	Scope of Study	4
II	BASIC PRINCIPLES	5
	Equations of Motion in The time Domain	5
	Finite Element Formulation	7
	Solution of Equations of Motion in the Frequency Domain ..	11
	Linear Hysteretic Damping	12
	Substructure Formulations of Equations of Motion for Soil-structure Interaction	13
	Impedance and Transfer Functions	16
III	EQUIVALENT PLANE STRAIN MODEL	19
	Introduction	19

Figure	Title	Page
	Analysis of Strip Footing Using Finite Element Plane Strain Model	20
	Analysis of Circular Footing Using Simplified Three-dimensional Model	23
	Modification of the Plane Strain Model for Three-dimensional Analyses	25
	Parametric Studies	28
IV	SOIL-PILE ELEMENT STIFFNESS	29
	Formulation	29
	Verification of Soil-pile Element	34
V	PILE EFFECTS IN EARTHQUAKE ANALYSES	35
	Soil – Pile Modeling for Earthquake Analyses	35
	Example Problems	35
	Transfer Functions	37
VI	CONCLUSIONS	39
	REFERENCES	41
	FIGURES	44
	APPENDIX	57
	VITA	62

LIST OF FIGURES

Figure	Title	Page
2.1	Displacement superposition schematic representation of soil-structure interaction substructuring a) complete model b) model of foundation without super-structure c) interaction model	45
2.2	Physical interpretation of soil-structure interaction analysis using substructures	46
3.1	a) Soil-structure model b) Finite element discretization $B/b = 4.3$, $H/B = 1.5$, $\nu = 0.25$	47
3.2	Non-dimensional displacement functions comparing the plane strain finite element and analytical solutions	47
3.3	Simplified three-dimensional model using dashpots	48
3.4	Non-dimensional displacement functions of circular footing on elastic half space comparing the Hwang's simplified three-dimensional model and analytical solutions	48
3.5	Equivalent plane strain model using dashpots together with side springs	49
3.6	Non-dimensional displacement functions of circular footing on elastic half space comparing the proposed model using Hwang's parameters and analytical solutions a) $C_m = 1.0$, $C_d = 1.0$ and $C_s = 0.0259$ b) $C_m = 1.0$, $C_d = 1.0$ and $C_s = 0.0449$	49
3.7	Non-dimensional displacement functions of circular footing on elastic half space comparing the proposed model after adjustment of parameters C_m and C_d and analytical solutions a) $C_m = 0.55$, $C_d = 0.35$ and $C_s = 0.0259$ b) $C_m = 0.50$, $C_d = 0.50$ and $C_s = 0.0449$	50

Figure	Title	Page
3.8	Parametric study on the variations of C_m while keeping C_d and C_s constant	
	a) $C_d = 0.35, C_s = 0.026$	
	b) $C_d = 0.50, C_s = 0.042$	50
3.9	Parametric study on the variations of C_d while keeping C_m and C_s constant	
	a) $C_m = 0.55, C_s = 0.026$	
	b) $C_m = 0.50, C_s = 0.042$	51
4.1	Typical soil-pile element	51
4.2	Cantilever beams using plane stress finite element model with inserted piles.	
	a) concentric pile b) eccentric pile	52
5.1	Pile configurations in the plane strain model	
	a) single-line piles b) two-line piles	53
5.2	Finer model of finite element mesh	54
5.3	Coarser model of finite element mesh	55
5.4	Acceleration transfer functions	
	a) finer models b) coarser models	56

LIST OF SYMBOLS

A_b	cross-section area of pile
a_0	dimensionless frequency
a, b	dimensionless factors of viscous boundary
$[B]$	strain interpolation function
$[B^e]$	element strain interpolation function
b	half width of a strip footing
$[C]$	global damping matrix
$[C^e]$	element damping matrix
$[C_h]$	hysteretic damping matrix
C_m, C_d, C_s	adjustable parameters
c	radiation damping of a dashpot
$[D]$	elasticity matrix
D^s	ratio of hysteretic internal damping of soil
$\{d^b\}$	boundary damping force vector
$\{d^s\}$	damping force vector acting on both sides of the plane strain slice
E	modulus of elasticity
E_b	modulus of elasticity of beam portion
E_p	true value of pile's modulus of elasticity
E_s	modulus of elasticity of soil
$\{F\}$	generalized force vector
F_1, F_2	real and imaginary parts amplitude of compliance
$\{f_s\}$	surface tractions vector
$\{f_v\}$	body forces vector
G	shear modulus
G_b	shear modulus of beam

I_b	section moment of inertia of pile
i	$\sqrt{-1}$
$[K]$	stiffness matrix
$[K^e]$	element stiffness matrix
k	spring stiffness
L	length of beam
$[L]$	strain operator matrix
$[M]$	mass matrix
$[M^e]$	element mass matrix
$\{m\}$	mass vector
N	total number of elements
$[N^e]$	element interpolation function
$[\bar{N}]$	global interpolation function
$\{P\}$	complex amplitude of load vector
$\{Q\}$	generalized nonconservative force vector
$\{Q_c\}$	internal damping force vector
$\{Q_f\}$	external nonconservative force vector
Q_1, Q_2, \dots, Q_N	generalized nonconservative forces
$\{q\}$	global nodal displacement vector
$\{q_r\}$	displacement vector relative to base motion
\ddot{q}_f	base acceleration
q_1, q_2, \dots, q_N	generalized coordinates of displacement field
$\dot{q}_1, \dot{q}_2, \dots, \dot{q}_N$	time derivatives of generalized coordinates
$[S]$	dynamic-stiffness matrix or impedance matrix
T	kinetic energy
$\{\bar{T}\}$	surface traction vector
t_1, t_2	time interval

U_b	strain energy of beam element
U_e	strain energy of soil-pile element
U_s	strain energy of host-soil-medium
$\{u\}$	displacement vector of any point, complex amplitude of displacement vector
$\{\dot{u}\}$	velocity vector of any point
$\{\ddot{u}\}$	acceleration vector of any point
V	potential energy
V_p	P-wave velocity
V_s	S-wave velocity
v_i, w_i	displacements of nodes in y and z direction
W_{nc}	work done by nonconservative forces
$\{\bar{X}\}$	body force vector
y_i, z_i	spatial co-ordinates of nodes
Ω	the whole volume
Γ	the whole surface area
σ	normal stress
$\{\sigma\}$	stress vector
$\{\varepsilon\}$	strain vector
τ	shearing stress
ω	circular vibration frequency
ρ	mass density
ζ	damping ratio
κ_b	shear correction factor
$\delta(\cdot)$	first variation operator symbol